

## II-319 一般曲線座標系を用いた常射流混在流れの計算法の開発

北海道開発局開発土木研究所 河川研究室 正員 崇田徳彦  
 北海道開発局開発土木研究所 正員 清水康行  
 北海道開発局開発土木研究所 正員 北条純次  
 北海道開発コンサルタント(株) 正員 山下恭正

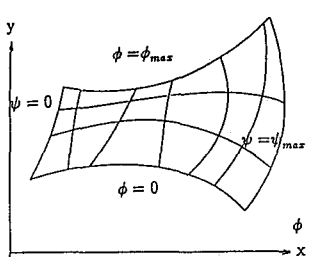
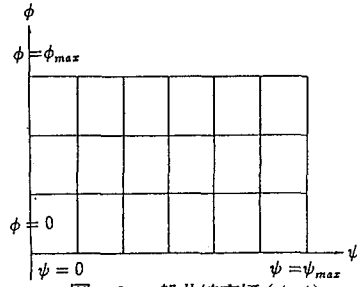
## 1. はじめに

我が国の河川は諸外国、とりわけ大陸の諸河川に比べ地形的要因からほとんどが急流河川であるといつても過言ではない。これらの急流河川においては治水対策上、床止め工や水制工の占める役割は非常に大きい。これらの治水施設の施工にあたっては模型実験や河川技術者の経験により、その効果や問題点の検討が行われている。しかしながら、近年の治水事業に対するニーズの多様化や環境への配慮から河川構造物や河道自体が複雑な形状をとる場合もあり、特に急流河川や床止め工を含む流れにおいては、跳水現象等が生じ流れが非常に複雑になるため、今までの実験や経験のみではその水理機構が明らかにならない場合も多い。これに対して、計算により任意の河道形状における流れの予測が可能となればより短時間で合理的な河道の設計が可能となる。そこで本研究においては、2次元の一般曲線座標系における流れの方程式を基礎式としそれを MacCormack 法で計算するモデルの開発を行う。

## 2. 計算手法

$(x, y)$  を直交直線座標(図-1)、 $(\psi, \phi)$  を一般曲線座標(図-2)とし、2つの座標系どおりの座標変換を次式で定義する。

$$\psi = \psi(x, y), \quad \phi = \phi(x, y) \quad (1)$$

図-1 直交直線座標( $x, y$ )図-2 一般曲線座標( $\psi, \phi$ )

$x, y$ に関する変微分は $\psi, \phi$ を用いて次式の関係で与えられる。

$$\frac{\partial}{\partial x} = \frac{\partial \psi}{\partial x} \frac{\partial}{\partial \psi} + \frac{\partial \phi}{\partial x} \frac{\partial}{\partial \phi} = \psi_x \frac{\partial}{\partial \psi} + \phi_x \frac{\partial}{\partial \phi}, \quad \frac{\partial}{\partial y} = \frac{\partial \psi}{\partial y} \frac{\partial}{\partial \psi} + \frac{\partial \phi}{\partial y} \frac{\partial}{\partial \phi} = \psi_y \frac{\partial}{\partial \psi} + \phi_y \frac{\partial}{\partial \phi} \quad (2)$$

ここで、 $\psi_x = \partial \psi / \partial x$ 、 $\phi_x = \partial \phi / \partial x$ 、 $\psi_y = \partial \psi / \partial y$ 、 $\phi_y = \partial \phi / \partial y$ である。

流れの計算には2次元的一般曲線座標系における St.Venant 方程式<sup>4)</sup>を用いた。

2次元の MacCormack 差分法による計算法の概略を以下に示す。

$n$  を時間ステップ、 $i$  および  $j$  を空間上の格子点番号とし、ある変量  $U$  の時刻  $n$  における  $(i, j)$  格子点の量を  $U_{i,j}^n$  とする。計算上の時間刻み幅を  $\Delta t$  とし、 $U_{i,j}^n$  の  $\Delta t$  秒後の値  $U_{i,j}^{n+1}$  を次式で求める。

$$U_{i,j}^{n+1} = [L_\psi(\Delta T_\psi)]^m [L_\phi(\Delta t_\phi)]^l [L_\phi(\Delta t_\phi)]^l [L_\psi(\Delta t_\psi)]^m U_{i,j}^n \quad (3)$$

ただし、 $L_\psi$ 、 $L_\phi$  は各々  $\psi$ 、 $\phi$  方向の差分演算子であり、 $\Delta \psi$ 、 $\Delta \phi$  は空間上の差分間隔である。 $\Delta t_\psi$  および  $\Delta t_\phi$  はそれぞれ  $\Delta \psi$  および  $\Delta \phi$  に対応する  $\Delta t$  でありそれぞれ  $\psi$  および  $\phi$  方向の C.F.L 条件を満たす様に決められ、 $m$  および  $l$  は次式を満たす整数の組み合わせである。

$$\Delta t = m \Delta t_\psi = l \Delta t_\phi \quad (4)$$

(21)式における  $L_\psi$  および  $L_\phi$  はそれぞれ通常の MacCormack 法と同様に予測子(Predictor)および修正子(Corrector)の2段階に分けて計算を行うものとし、それぞれの予測子および修正子段階における差分の方向は表-1に掲げる通りに行う。

表-1 各ステップにおける差分方式

第1ステップの $L_\psi$	予測子: 後進差分	第2ステップの $L_\phi$	予測子: 後進差分
	修正子: 前進差分		修正子: 前進差分
第3ステップの $L_\phi$	予測子: 前進差分	第4ステップの $L_\psi$	予測子: 前進差分
	修正子: 後進差分		修正子: 後進差分

## 3. 境界条件

水路上流端では、上流端の流量が所与の流量になる様に各時間ステップにおいて計算上の最上流端の流速を調節する。計算対象の流れが常流の場合は下流端において、射流の場合には上流端において一定の水位条件を与えるものとするが、後に示す計算例においては、計算区間の途中で跳水が生じ支配断面が現れるため、ここでの水位が限界水位となり結果的にここで水位の条件を与えているような状態となるため、上流端や下流端で水位を一定とするとかえって計算が不安

定となった。そこで、ここでは上下流端では水位の条件を与えないで、流速成分の流下方向に対する微分量をゼロとする条件を与えることとした。水路側壁においては水路側壁に交わる方向の流速の反変成分をゼロとする。

## 4. 適用例

上記の計算法を畠ら<sup>3)</sup>が行った水路実験に適用する。実験は実河川の1/50縮尺のフルード相似則模型において行われ、河幅の漸変する蛇行水路の途中に段落ちおよび段上がりを含む条件で行われており、これらの条件はいずれも従来の計算法では予測不可能な水理条件となっている。実験条件を表-2に、水路の平面形状を図-3に示す。

表-2 水理実験条件(現地換算量)

水路延長	1600 m
下流端水位	135.03 m
流量	277 m <sup>3</sup> /s
低水路粗度係数	0.03
高水路粗度係数	0.045

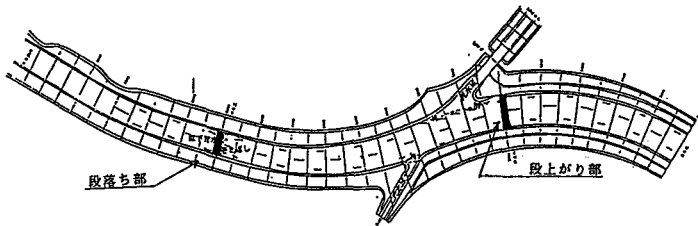


図-3 水路平面図

計算は表-1の条件で、初期条件として全計算区間において等流条件の水位および流速を与え、流れがほぼ定常となった350秒経過後の流速および水位を求めた。その後計算を続行したが、完全には定常状態には達しなかった。しかしながら実際に跳水現象等を伴う流れが、完全に定常状態になるかどうかは明かではなく今後の検討課題としたい。

図-4に(a)各断面の流量および(b)水位の計算結果と実測値および低水路河床高の縦断図を示す。また、図-4(b)の水位縦断図において実線は計算結果を、黒丸は実測値を示しておりいずれも低水路中央の値である。

図-4 (b)の河床縦断図からもわかるように今回の実験はほぼ垂直に約1.7m(現地換算値)近くも落差のある段落ち部および段上がり部が向かい合って設置されているような形状をしており、これらを含む流れは非常に複雑なものとなってい

る。水位の実験値を計算結果と比較してみると、段落ち部上部では計算結果は実験値よりも水位低下が見られるが跳水の生じる位置およびその規模はほぼ正確に予測されている。段落ち部の下流では水位の計算結果に振動傾向が見られるが、ここは実際に水位が不安定な部分でもあり、全般的に実験結果とほぼ完全に一致している。段落ち部上流での計算結果と実測値の若干の相違は計算断面の数が少ないと起因していると思われる。

## 5. おわりに

本研究では、任意の境界形状や計算格子点の配置に対応可能である一般曲線座標系という極めて画期的な概念を新たに導入し、これを用いて2次元流れの基礎式の誘導を行った。さらに、流れの急変や跳水現象等の複雑な水理現象に有効な計算法であるMacCormack法をこの一般曲線座標系による基礎式への適用を行ったものである。このモデルはまだ開発途上のものであるがこれが完成すると、自然河川は勿論、様々な人工的要因による複雑な河道形状や水理現象がほぼ例外なく予測可能となる極めて有力なモデルである。

今回示した計算例はごく1例ではあるが段落ち部の落差が上流側の水深と同じくらいある等、かなり厳しい条件であつたにもかかわらず、精度良い結果が得られ、今後モデルの完成への期待が持たれる。

## 参考文献

- 1) 崇田徳彦・清水康行・渡邊康玄; MacCormack法を用いた常・射流計算、北海道開発局開発土木研究所月報 1990年9月
- 2) 北條紘二・畠 敏夫・清水康行; 合流部における2次元流況計算法について北海道土木学会支部 1990年2月
- 3) 畠 敏夫・牛朱別川分水路水理模型実験業務報告書、北海道開発局開発土木研究所平成2年2月
- 4) 山下恭正・清水康行・崇田徳彦; 一般曲線座標系を用いた流れの2次元数値計算法、年次学術講演会 1991年9月
- 5) Garcia,R. and Kahawita,R.: Numerical solution of the St.Venant equations with the MacCormack finite-difference scheme: International Journal for Numerical Methods in Fluids, Vol.6, 1986